

بِسْمِ اللَّهِ الرَّحْمَنِ الرَّحِيمِ

٦٢٠٣٤



وزارت علوم ، تحقیقات و فناوری

دانشگاه شهید بهشتی

دانشکده علوم زمین

گروه آموزشی زمین‌شناسی

پایان نامه جهت اخذ درجه کارشناسی ارشد M.Sc

رشته زمین‌شناسی - تکتونیک

عنوان

تحلیل ساختاری و شکستگی‌های میدان نفتی بی‌بی حکیمه

(جنوب غربی ایران)

اساتید راهنمای

دکتر سید احمد علوی

دکتر ایرج عبداللهی‌فرهاد

اساتید مشاور

دکتر حسن امیری‌بخیار

مهندس حسین طالبی

۱۳۸۸/۱۱/۶

نگارنده

حمید مداعی

نیمسال دوم سال تحصیلی ۸۷-۸۸

وزارت علوم
تحقیقات و فناوری

بسمه تعالیٰ
وزارت علوم ، تحقیقات و فناوری
دانشگاه شهید بهشتی
دانشکده علوم زمین
گروه زمین شناسی
تأییدیه دفاع از پایان نامه
کارشناسی ارشد

این پایان نامه توسط آقای حمید مذاهی دانشجوی دوره کارشناسی ارشد ناپیوسته رشته
زمین‌شناسی گرایش : تکتونیک در تاریخ ۱۳۸۸/۴/۱۶ مورد دفاع قرار گرفت و براساس رأی

هیأت داوران با نمره ۱۹/۳ و درجه عالی پذیرفته شد .

استاد راهنمای آقای دکتر سید احمد علوی

و آقای دکتر ایرج عبداللهی فرد

استاد مشاور: آقای دکتر حسن امیری بختیار

و آقای مهندس حسین طالبی

استاد داور: آقای دکتر محسن پورکرمانی

استاد داور: آقای دکتر رادین اسپندار

۱۳۸۸/۱۱/۶

تقدیم به

بترین های زندگی ام

پر و مادر محربان

و

خواهر و برادر ناز ششم

پاس خداوندیکتا را

از استادی محترم و کرائدور دکتر سید احمد علوی و دکتر ایج عبداللہی فرد که باراهنایی های ارزشمند خود، همواره روشنایی بخش را بهم بودند و بودن در مقام شاگردی این عزیزان باعث افتخار هرچه بیشتر، بسیار پاسکزارم. همین از استادی محترم دکتر حسن امیری بجیار و مهندس حسین طالبی به خاطر مشاوره ارزشناه ایشان مسکرم.

از استادیگر کرائدور دکتر حسن پور کمانی و دکتر عباس قاسمی که در طول این دوره از تحصیل، درست استادیم بوده اند نیز صمیمان پاسکزارم.

همین از مسئول محترم آموزش تحصیلات تکمیلی سرکار خانم زیدانفر به خاطر زحمات بی دین شان کمال شکر و قدردانی رامی نمایم.

از دوستان گرائدور، آقایان مهندس حسینیانی، همت، طباطبائی، رحانی زاده، علیزاده، علی بابایی و ایمنی که هر یک بر نوعی در پیشبرد این پژوهش همکار حالم بودند بسیار مسکرم.

همین از دوستان خوبم، آقایان قلی زاده، پور شجاعی و یوسفوند، که بودن در کنارشان باعث افتخار و رفاقتگران سودمند است کمال شکر و اتسان را داشت، از خداوند همراه برای این عزیزان آرزوی خوبی و توفیق روز افزون دارم.

از همکلاسی هایی کرامی آقایان علی پور، قویی پناه، سلیمانی و خانم های عبادی، اسدی، صارمی، مکاریان، مدیری، آقابزرگی که به نحوی در تکمیل این رساله به من پاری رسانند کمال شکر و قدردانی را دارم.

برخود لازم می دانم از زحمات بی دین مخصوصین شرکت ملی مناطق نفتخیز جنوب آقایان مهندس ارزانی، زیدانی و سیروزناها خاضعانه تقدیر و شکر نمایم.

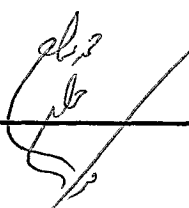
در انتهای دستان گرم و پر محبت همراهان، همیشه همراهان، پرورداد لسو و خواهر و برادر عزیز، که وجود نازنینشان آرامش، بخش و محبتان باعث دلگرمی هرچه بیشترم بوده و هست را صمیمانه فشرده، از درگاه حق برای این خوبان آرزوی سرمهندی و سرافرازی دارم. همین در برابر دایی دوست داشتنی ام دکتر علی غفاری نژاد، که در تامی مرافق زندگی هیچون برادری بزرگتر روش گر را بهم بوده است سرتواضع فرود آورده، برای او و خانواده اش خواهان بسترین هاستم.

اقرار و تعهدنامه

اینجانب حمید مدادی دانشجوی مقطع کارشناسی
ارشد دانشگاه شهید بهشتی، دانشکده علوم زمین،
گروه زمین‌شناسی، رشته زمین‌شناسی، گرایش
تکتونیک، پایان نامه حاضر را بر اساس مطالعات و
تحقیقات شخصی خود انجام داده و در صورت
استفاده از داده‌ها، مأخذ، منابع و نقشه‌ها به‌طور
کامل به آن ارجاع داده‌ام، ضمناً داده‌ها و نقشه‌های
موجود را با توجه به مطالعات میدانی - صحرائی
خود تدوین نموده‌ام. این پایان نامه پیش از این
به هیچ‌وجه در مرجع رسمی یا غیر رسمی دیگری
به عنوان گزارش یا طرح تحقیقاتی عرضه نشده است.
در صورتی که خلاف آن ثابت شود، درجه‌ی
دریافتی اینجانب از اعتبار ساقط شده، عواقب و
نتایج حقوقی حاصله را می‌پذیرم.

تاریخ ۱۳۸۸/۴/۱۶

امضاء



چکیده:

شکستگی‌ها یکی از مهم‌ترین مسیرهای جریان سیالات هیدروکربوری در مخازن کربناته هستند و نقش آن‌ها در تخلیه طبیعی، بازیافت ثانویه و بالاخره بازیافت نهایی بسیار پراهمیت تلقی می‌شود. بنابراین، مطالعه و بررسی شکستگی‌ها و شناخت موقعیت و نحوه گسترش آن‌ها در سرتاسر مخزن، می‌تواند به طرح توسعه میدان، تعیین محل‌های مناسب جهت احداث چاههای جدید، افزایش طول عمر و بهره‌دهی مناسب مخزن، کاهش هزینه‌های پی‌جوبی و درک کلی ما از سیستم شکستگی در میدان نفتی، کمک قابل توجهی نماید. میدان نفتی بی‌بی‌حکیمه یکی از میدان‌ین بزرگ نفتی ایران است و در ۲۳۰ کیلومتری جنوب‌خاوری شهر اهواز واقع شده است. این میدان در رخمنون سطحی شامل سازندهای آغازاری، میشان و بختیاری است و دارای سه افق مخزنی آسماری، بنگستان و خامی می‌باشد. در این پژوهش، با استفاده از روش‌های مختلف به تحلیل ساختاری و بررسی شکستگی‌های این میدان پرداخته شده است. روش‌های مورد استفاده در تحلیل ساختاری میدان شامل رده‌بندی (Ramsay 1967)، Fleuty (1964)، Rickard (1973)، Hudleston (1971) و Jamison (1987) تفسیر نیمرخ‌های لرزه‌نگاری و روش‌های مورد استفاده در بررسی شکستگی‌ها شامل مطالعه تصاویر ماهواره‌ای، مشاهدات صحرایی، مطالعه و بررسی مغزهای حفاری، استفاده از نمودارهای تصویری، مشتق‌گیری ریاضی از نقشه‌های ساختمانی زیرسطحی، تحلیل دوایر محاطی، محاسبه میزان انحنای محوری ساختمان مخزن، RFF، استفاده از داده‌های حفاری، بررسی تغییر ضخامت روباره رسوبی و اطلاعات شاخص بهره‌دهی می‌باشد. بر این اساس، نیمه جنوب‌خاوری میدان از استعداد توسعه شکستگی بیشتری برخوردار است. بالاترین تراکم شکستگی‌ها، در کمان بیرونی انحناء‌های محوری وجود دارد و با افزایش عمق از تراکم آن‌ها کاسته می‌شود. این انحناء‌های محوری می‌تواند ناشی از عوامل مختلفی چون، تغییر روند و نرخ لغزش متفاوت در راندگی بی‌بی‌حکیمه، تأثیر تاقدیس‌های مجاور، عملکرد گسل‌های پی‌سنگی و رشد، گسترش و بهم آمیختن تاقدیس‌های مجزا و تشکیل یک تاقدیس واحد باشد. همچنین، الگوی شکستگی‌های سطحی و زیرسطحی در میدان بی‌بی‌حکیمه، چندان از هم تبعیت نمی‌کنند. بررسی‌های انجام شده، سازوکار خمی - لغزشی و سطح خنثی را به صورت توأم در این میدان نشان داده است. مقایسه پروفیل‌های لرزه‌ای مربوط به تاقدیس بی‌بی‌حکیمه با مدل‌های ارائه شده برای چین‌های مرتبط با گسل، نشان داده است، این تاقدیس می‌تواند از نوع چین‌های انتشار‌گسلی باشد. روش‌های مختلف تحلیل ساختاری نشان داده است، تاقدیس بی‌بی‌حکیمه یک چین ناهمانگ، غیراستوانه‌ای، نامتقارن، ایستاده میل‌دار تا خمیده میل‌دار، شیب تند، باز تا ملایم و نیمه منور است و در رده بندی (Ramsay 1967) 1B را به خود اختصاص داده است. همچنین، در این پژوهش مدلی سه‌بعدی از پی‌سنگ ناحیه فروافتاده دزفول، با نگرشی ویژه بر نحوه عملکرد گسل‌های پی‌سنگی موجود در محدوده میدان نفتی بی‌بی‌حکیمه ارائه شده است.

واژه‌های کلیدی: تحلیل ساختاری، چین انتشار‌گسلی، شکستگی، میدان نفتی بی‌بی‌حکیمه.

فصل اول- کلیات

| | |
|--------|--|
| ۲..... | ۱-۱- مقدمه |
| ۲..... | ۱-۲- موقعیت جغرافیایی و راههای دسترسی به منطقه مورد مطالعه |
| ۵..... | ۱-۳- تاریخچه اکتشافی و پیشینه پژوهشی میدان بی‌بی‌حکیمه |
| ۵..... | ۱-۴- اهداف مطالعه |

فصل دوم- زمین‌شناسی عمومی

| | |
|---------|---|
| ۷..... | ۲-۱- مقدمه |
| ۷..... | ۲-۲- زاگرس |
| ۸..... | ۲-۲-۱- زمین‌ساخت و روند تکاملی زاگرس |
| ۱۴..... | ۲-۲-۲- زیرپهنه‌های زاگرس |
| ۱۵..... | ۲-۲-۳- زیرپهنه راندگی‌ها |
| ۱۵..... | ۲-۳- زیرپهنه زاگرس چین‌خورده |
| ۱۸..... | ۲-۳-۱- فروافتادگی دزفول |
| ۱۹..... | ۲-۳-۲- چینه‌شناسی سازندهای موجود در منطقه مورد مطالعه |
| ۱۹..... | ۲-۳-۳- گروه خامی |
| ۲۰..... | ۲-۳-۴- گروه بنگستان |
| ۲۲..... | ۳-۱- سازند آهکی آسماری |
| ۲۲..... | ۳-۲- گروه فارس |
| ۲۶..... | ۴-۱- زون بندی مخازن آسماری و بنگستان در میدان بی‌بی‌حکیمه |
| ۲۶..... | ۴-۲- مخزن آسماری |
| ۲۹..... | ۴-۳- مخزن بنگستان |

فصل سوم- تحلیل شکستگی‌ها

| | |
|---------|---|
| ۳۳..... | ۱-۱- مقدمه |
| ۳۳..... | ۱-۲- مطالعه و تحلیل شکستگی‌های سطحی |
| ۳۳..... | ۱-۲-۱- روند شکستگی‌ها |
| ۳۶..... | ۱-۲-۲- فاصله بین شکستگی‌ها |
| ۳۹..... | ۱-۲-۳- مطالعه و تحلیل شکستگی‌های زیرسطحی |
| ۴۰..... | ۱-۳-۱- روش‌های مستقیم |
| ۴۰..... | ۱-۳-۲- مطالعه و بررسی مغزه‌های حفاری |
| ۴۶..... | ۱-۳-۳- ۱- استفاده از نمودارهای تصویری |
| ۵۳..... | ۱-۳-۳- ۲- روش‌های غیرمستقیم |
| ۵۳..... | ۱-۳-۳- ۳- مشتق‌گیری ریاضی از نقشه‌های ساختمانی زیرسطحی |
| ۵۶..... | ۱-۳-۳- ۴- تحلیل دوایر محاطی |
| ۶۰..... | ۱-۳-۳- ۵- استفاده از میزان انحنای محوری (طولی) ساختمان مخزن |
| ۶۱..... | ۱-۳-۳- ۶- روش RFF |
| ۶۸..... | ۱-۳-۳- ۷- استفاده از داده‌های حفاری |
| ۶۸..... | ۱-۳-۳- ۸- داده‌های هرزروی گل حفاری |

| | |
|-----|---|
| ۷۲ | ۳-۳-۲-۵-۲-۳-۳ داده‌های وزن‌گل حفاری. |
| ۷۳ | ۳-۳-۲-۶- بررسی تغییر ضخامت روباره رسوبی. |
| ۷۴ | ۳-۳-۲-۷- بررسی اطلاعات شاخص بهره‌دهی. |
| ۷۵ | ۳-۴- مقایسه الگوی شکستگی‌های سطحی و زیرسطحی |
| | فصل چهارم- تحلیل ساختاری و زمین‌شناسی ساختمانی |
| ۷۸ | ۴-۱- مقدمه. |
| ۸۱ | ۴-۲- خصوصیات هندسی و رده بندی چین. |
| ۸۲ | ۴-۲-۱- رده بندی چین براساس موقعیت محور و سطح محوری (Rickard 1971). |
| ۸۲ | ۴-۲-۲- رده بندی چین براساس میل محور چین وزاویه شبی سطح محوری (Fleuty 1964). |
| ۸۴ | ۴-۲-۳- رده بندی چین براساس زاویه بین یالی (Fleuty 1964). |
| ۸۴ | ۴-۲-۴- رده بندی چین بر اساس خطوط هم شبی (Ramsay 1967). |
| ۸۵ | ۴-۲-۵- رده بندی چین بر اساس پارامتر P (Ramsay 1967). |
| ۸۶ | ۴-۲-۶- رده بندی چین بر اساس ارتباط بین دامنه و طول موج (Hudleston 1973). |
| ۸۷ | ۴-۳- سازوکار چین‌خوردگی تاقدیس زیرسطحی بی‌بی حکیمه. |
| ۸۸ | ۴-۳-۱- چین‌های مرتبط با گسل. |
| ۸۹ | ۴-۳-۱-۱- رابطه چین و گسل در چین‌های مرتبط با گسل. |
| ۸۹ | ۴-۳-۱-۱-۱- گسترش گسل قبل از چین‌خوردگی. |
| ۸۹ | ۴-۳-۱-۱-۲- گسترش همزمان گسل و چین‌خوردگی. |
| ۹۰ | ۴-۳-۱-۱-۳- گسترش گسل بعد از چین‌خوردگی. |
| ۹۲ | ۴-۳-۲-۱- انواع چین‌های مرتبط با گسل. |
| ۹۲ | ۴-۳-۱-۲- چین‌های خمش گسلی. |
| ۹۲ | ۴-۳-۲-۲- چین‌های انتشار گسلی. |
| ۹۳ | ۴-۳-۲-۱- چین‌های جداشی. |
| ۹۵ | ۴-۴- سازوکار متفاوت چین‌خوردگی در طول تاقدیس. |
| ۹۷ | ۴-۵- انحنای محوری در تاقدیس زیرسطحی بی‌بی حکیمه و عوامل احتمالی مؤثر بر آن. |
| ۹۹ | ۴-۵-۱- تغییر روند و نرخ لغزش متفاوت در راندگی بی‌بی حکیمه. |
| ۹۹ | ۴-۵-۲- تأثیر تاقدیس‌های مجاور. |
| ۱۰۱ | ۴-۵-۳- عملکرد گسل‌های پی‌سنگی. |
| ۱۰۲ | ۴-۵-۴-۱- مطالعه ژئومغناطیسی پی‌سنگ. |
| ۱۰۵ | ۴-۵-۴-۲- رشد، گسترش و بهم آمیختن تاقدیس‌های مجزا و تشکیل یک تاقدیس واحد. |
| ۱۰۶ | ۴-۶- عدم انتظام تاقدیس‌های سطحی و زیرسطحی بی‌بی حکیمه. |
| ۱۰۸ | ۴-۷- تحلیل میدان تنش برجا. |
| | فصل پنجم- نتیجه‌گیری و پیشنهادات |
| ۱۱۳ | ۵-۱- نتایج به دست آمده برای میدان نفتی بی‌بی حکیمه. |
| ۱۱۳ | ۵-۱-۱- خصوصیات شکستگی‌های تاقدیس بی‌بی حکیمه. |
| ۱۱۵ | ۵-۱-۲- خصوصیات هندسی و تحلیل ساختاری تاقدیس. |
| ۱۱۶ | ۵-۲- پیشنهادات. |

منابع

| | |
|-----------|-------------------|
| ۱۱۹ | منابع فارسی |
| ۱۲۱ | References |

پیوست

| | |
|-----------|--------------------------------------|
| ۱۲۸ | پ-۱- شکستگی‌ها در مغزهای حفاری |
| ۱۳۲ | پ-۲- نمودار تصویرگر FMI |

فهرست شکل‌ها

| | |
|----|---|
| ۳ | شکل ۱-۱- موقعیت جغرافیایی و راههای دسترسی به میدان نفتی بی‌بی حکیمه. |
| ۴ | شکل ۱-۲- مدل ارتفاعی رقومی (DTM) منطقه مورد مطالعه و نواحی اطراف. |
| ۸ | شکل ۱-۳- پرش شماتیک که نشان دهنده توکین ساختاری زاگرس و نواحی اطراف آن می‌باشد. |
| ۹ | شکل ۲-۱- نقشه‌های دیرینه جغرافیایی شماتیک که بسته شدن نتوتیس و. |
| ۱۰ | شکل ۲-۲- مدل ارتفاعی رقومی زاگرس و نواحی مجاور. |
| ۱۱ | شکل ۲-۳- مقاطع ساختاری موازن شده در عرض کمربند چین خورده- رانده زاگرس. |
| ۱۲ | شکل ۲-۴- مقاطع ساختاری موازن شده در عرض کمربند چین خورده- رانده زاگرس. |
| ۱۳ | شکل ۲-۵- کوتاه شدگی تجمعی در پهنه‌های مختلف ساختاری ایران. |
| ۱۶ | شکل ۲-۶- کاهش سن چین خورده‌گی در زیرپنهنه زاگرس چین خورده، از سمت شمال خاور به طرف جنوب باخترا. |
| ۱۷ | شکل ۲-۷- پی‌سنگ پرکامبرین زاگرس ادامه شمال - شمال خاوری سپر نوبی- عربی است. |
| ۱۸ | شکل ۲-۸- زیرپهنه‌های عمدۀ زاگرس در ایران. |
| ۲۴ | شکل ۲-۹- ستون چینه شناسی ساده شده، شامل سنگ شناسی و رویدادهای زمین‌ساختی. |
| ۲۵ | شکل ۲-۱۰- موزاییک نقشه زمین‌شناسی میدان نفتی بی‌بی حکیمه و نواحی اطراف. |
| ۲۶ | شکل ۲-۱۱- (الف) نمایی از سازند میشان در تاقدیس سطحی بی‌بی حکیمه. |
| ۲۸ | شکل ۲-۱۲- نقشه هم‌ضخامت زون‌های یک تا چهار مخزن آسماری. |
| ۳۴ | شکل ۲-۱۳- بخش‌بندی تاقدیس سطحی بی‌بی حکیمه بر روی تصویر ماهواره‌ای MrSID. |
| ۳۵ | شکل ۲-۱۴- شکستگی‌های برشی مزدوج، در بخش ۲ تاقدیس سطحی بی‌بی حکیمه. |
| ۳۵ | شکل ۲-۱۵- شکستگی‌های برشی مزدوج همراه با شکستگی‌های طولی و عرضی. |
| ۳۶ | شکل ۲-۱۶- تراکم بالای شکستگی در آهک‌های سازند میشان نسبت به مارن‌های خاکستری این سازند. |
| ۳۷ | شکل ۲-۱۷- تأثیر تخلخل، اندازه ذرات و به تبع آن ضخامت لایه‌ها بر فاصله شکستگی. |
| ۳۸ | شکل ۲-۱۸- تأثیر ترکیب سنگ‌شناسی و ضخامت لایه بر فاصله شکستگی. |
| ۳۹ | شکل ۲-۱۹- افزایش شبیب و انحناء لایه‌های سنگی ، باعث افزایش تراکم و کاهش فاصله شکستگی می‌شود. |
| ۴۱ | شکل ۲-۲۰- طرحی شماتیک از موقعیت چاههای مورد استفاده در بررسی مغذه‌های حفاری. |
| ۴۲ | شکل ۲-۲۱- (الف) نمودار فراوانی شبیب شکستگی‌ها در مغذه‌های چاه شماره ۱۸. |
| ۴۲ | شکل ۲-۲۲- نمودار گل‌سرخی مربوط به شکستگی‌های موجود در مغذه‌های حفاری چاه ۳۹. |
| ۴۴ | شکل ۲-۲۳- نمودار گل‌سرخی مربوط به شکستگی‌های (الف) باز، (ب) بسته، (ج) تمام شکستگی‌ها. |
| ۴۵ | شکل ۲-۲۴- (الف) همخوانی قسمت‌های شدیداً آغشته به نفت با مناطق دارای شکستگی‌های باز. |
| ۴۶ | شکل ۲-۲۵- طرحی شماتیک از موقعیت چاههای مورد استفاده در بررسی نمودارهای تصویری FMI. |
| ۴۸ | شکل ۲-۲۶- نمودار گل‌سرخی مربوط به (الف) امتداد مرزهای لایه‌بندی، شکستگی‌های باز و بسته. |
| ۴۹ | شکل ۲-۲۷- نمونه‌ای از گرهک‌های اندیزه‌گیری و شکستگی‌های باز و بسته در تصاویر FMI چاه ۱۱۶. |
| ۵۰ | شکل ۲-۲۸- نمودارهای گل‌سرخی مربوط به (الف) امتداد مرزهای لایه بندی با اطمینان بالا. |
| ۵۰ | شکل ۲-۲۹- نمودارهای گل‌سرخی مربوط به (الف) امتداد (ب) جهت شبیب مرزهای لایه بندی با اطمینان پایین. |
| ۵۱ | شکل ۲-۳۰- نمودارهای گل‌سرخی مربوط به (الف) امتداد (ب) جهت شبیب شکستگی‌های باز. |
| ۵۱ | شکل ۲-۳۱- نمودارهای گل‌سرخی مربوط به (الف) امتداد (ب) جهت شبیب شکستگی‌های باز بسته. |
| ۵۲ | شکل ۲-۳۲- نمودارهای گل‌سرخی مربوط به (الف) امتداد (ب) جهت شبیب استیلوولیت‌ها. |

| | | |
|--|-----------------------------|----|
| شکل ۲۱-۳- نمودارهای گل سرخی مربوط به الف) امتداد ب) | جهت شب رگه‌های انحلالی..... | ۵۳ |
| شکل ۲۲-۳- اثر سینوسیته کوچک مقیاس در بروز اختلال فراوان طی فرآیند مشتق گیری از رأس ساختمان مخزن..... | ۵۴ | |
| شکل ۲۳-۳- نقشه مشتق اول و دوم رأس مخزن آسماری (الف و ب) و مخزن بنگستان (ج و د) | ۵۵ | |
| شکل ۲۴-۳- چگونگی ترسیم و محاسبه میزان تغییرات انحنای به روش دایره محاطی..... | ۵۷ | |
| شکل ۲۵-۳- الف) موقعیت برش‌های عرضی تهیه شده بر روی رأس مخزن آسماری جهت به کارگیری روش..... | ۵۸ | |
| شکل ۲۶-۳- موقعیت برش‌های عرضی تهیه شده بر روی رأس مخزن بنگستان جهت به کارگیری روش..... | ۵۹ | |
| شکل ۲۷-۳- الف و ب) به ترتیب، بازسازی محور اولیه ساختار بی‌حکیمه در افق‌های مخزنی آسماری و بنگستان..... | ۶۰ | |
| شکل ۲۸-۳- الف) تغییرات شکل پذیری در مقابل عمق برای سنگ‌های رسوبی..... | ۶۲ | |
| شکل ۲۹-۳- الف و ب) به ترتیب مدل‌سازی سه‌بعدی رأس مخزن آسماری و بنگستان میدان نفتی بی‌بی‌حکیمه..... | ۶۳ | |
| شکل ۳۰-۳- برشی عرضی بر روی یک تاقدیس، همراه با نمایش برخی پارامترهای مورد استفاده در روش RFF | ۶۴ | |
| شکل ۳۱-۳- موقعیت برش‌های عرضی تهیه شده بر روی رأس مخزن آسماری جهت به کارگیری روش RFF | ۶۵ | |
| شکل ۳۲-۳- الف تا ه) به ترتیب نقشه‌های هم RFF برای رأس مخزن آسماری و اعماق منطبق بر میانه زون‌ها..... | ۶۶ | |
| شکل ۳۳-۳- موقعیت برش‌های عرضی تهیه شده بر روی رأس مخزن بنگستان جهت به کارگیری روش RFF | ۶۶ | |
| شکل ۳۴-۳- الف تا و) به ترتیب نقشه‌های هم RFF برای رأس مخزن بنگستان و اعماق منطبق بر میانه زون‌ها..... | ۶۷ | |
| شکل ۳۵-۳- الف تا د) به ترتیب نقشه‌های هم ارزش هرزروی گل حفاری برای زون‌های یک تا چهار مخزن آسماری..... | ۶۹ | |
| شکل ۳۶-۳- الف تا ت) به ترتیب نقشه‌های هم ارزش هرز روی گل حفاری برای زون‌های یک تا نه مخزن بنگستان..... | ۷۱ | |
| شکل ۳۷-۳- نقشه هم ارزش وزن گل حفاری برای رأس مخزن الف) آسماری ب) بنگستان..... | ۷۳ | |
| شکل ۳۸-۳- نقشه هم ارزش ضخامت روپاره رسوبی بر روی رأس مخزن الف) آسماری ب) بنگستان..... | ۷۳ | |
| شکل ۳۹-۳- نقشه هم ارزش شاخص بهره دهی برای مخزن الف) آسماری ب) بنگستان..... | ۷۴ | |
| شکل ۴-۱- موقعیت میدان بی‌بی‌حکیمه در ناحیه فروافتاده دزفول، همراه با برخی از میادین نفتی و..... | ۷۸ | |
| شکل ۴-۲- نمایی از یال شمال خاوری تاقدیس سطحی بی‌بی‌حکیمه با شبیل لایه‌بندی به سمت شمال خاور..... | ۷۹ | |
| شکل ۴-۳- رختمن راندگی جداشی سازند گچساران در سطح زمین..... | ۸۰ | |
| شکل ۴-۴- مدل شماتیک از برش عرضی تاقدیس بی‌بی‌حکیمه و چگونگی عملکرد راندگی‌های مؤثر بر این ساختار..... | ۸۰ | |
| شکل ۴-۵- رده بندی چین براساس موقعیت محور و سطح محوری Rickard(1971) | ۸۲ | |
| شکل ۴-۶- تعیین میل محور چین، با استفاده از نیم‌رطی مدل سه‌بعدی رأس مخزن آسماری..... | ۸۳ | |
| شکل ۴-۷- تعیین زاویه شبی سطح محوری، با استفاده از طرح شماتیک پروفیل‌های لرزه‌ای..... | ۸۳ | |
| شکل ۴-۸- رده بندی چین براساس میل محور چین و زاویه شبی سطح محوری Fleuty (1964) | ۸۳ | |
| شکل ۴-۹- رده بندی چین‌ها بر اساس زاویه بین یالی یا فشردگی Fleuty (1964) | ۸۴ | |
| شکل ۴-۱۰- رده بندی تاقدیس بی‌بی‌حکیمه بر اساس خطوط هم شبی Ramsay(1967) | ۸۵ | |
| شکل ۴-۱۱- اثر سطح میانی و سطح پوش..... | ۸۵ | |
| شکل ۴-۱۲- رده بندی چین بر اساس پارامتر P Ramsay(1967) | ۸۶ | |
| شکل ۴-۱۳- رده بندی چین بر اساس ارتباط بین دامنه و طول موج (Hudleston, 1973) | ۸۶ | |
| شکل ۴-۱۴- تقسیم‌بندی سه گانه چین‌های مرتبط با گسل‌های راندگی (McClay,2003) | ۸۸ | |
| شکل ۴-۱۵- الف) انواع چین‌های خمش گسلی ساده (Jamison, 1987) | ۸۹ | |
| شکل ۴-۱۶- انواع چین‌های انتشار گسلی و جداشی (Jamison, 1987) | ۹۰ | |
| شکل ۴-۱۷- الف) پیدایش پس راندگی (Brown, 1984) | ۹۱ | |

| | |
|--|-----|
| شکل ۱۸-۴- یک چین مرتبط با گسل از نوع Fault-arrest Fold در منطقه مورد مطالعه..... | ۹۱ |
| شکل ۱۹-۴- الگوی هندسی یک چین انحنای گسلی ساده مدل I (Suppe,1983) | ۹۲ |
| شکل ۲۰-۴- الگوی هندسی یک چین انتشار گسلی (Suppe,1985)..... | ۹۳ |
| شکل ۲۱-۴- الگوی هندسی یک چین جدایشی (Jamison,1987) | ۹۳ |
| شکل ۲۲-۴- (الف) اندازه‌گیری شبیه شیبراهه(a) و زاویه بین یالی (۶) چین‌های انتشار گسلی | ۹۴ |
| شکل ۲۳-۴- توالی تکامل یک چین..... | ۹۵ |
| شکل ۲۴-۴- مدل شماتیک برای توسعه چین جعبه‌ای در زاگرس در طی یک دگر ریختی پیشرونده..... | ۹۶ |
| شکل ۲۵-۴- شکستگی‌های ناشی از انحنای محوری تاقدیس (مطیعی،۱۳۷۴)..... | ۹۸ |
| شکل ۲۶-۴- گسترش جانبی راندگی زیرسطحی باعث توسعه چین خودگی در پوشش رسوبی بالای می‌شود..... | ۹۹ |
| شکل ۲۷-۴- موقعیت میدان نفتی بی‌بی حکیمه همراه با میدادین مجاور در فروافتادگی دزفول (NIOC,1977) | ۱۰۰ |
| شکل ۲۸-۴- انتظامی میدان بی‌بی حکیمه همراه با کانون‌های لرزه‌ای بر روی نقشه انتظامی یافته ژئومغناطیس پی سنگ ۱۰۳ | |
| شکل ۲۹-۴- نقشه هم‌ضخامت رسوبات سنومانین بالایی- میوسن..... | ۱۰۴ |
| شکل ۳۰-۴- انحنای طولی و تغییر جهت بی تقارنی تاقدیس ، در اثر عملکرد گسل راستالغاز پی‌سنگی..... | ۱۰۵ |
| شکل ۳۱-۴- (الف) رشد و بهم آمیختن دو تاقدیس مجزا با جدایش کمتر از نصف طول موج ساختار..... | ۱۰۵ |
| شکل ۳۲-۴- نمایش UGC Map مربوط به رأس مخزن آسماری، بر روی نقشه زمین‌شناسی | ۱۰۸ |
| شکل ۳۳-۴- ارتباط بین پدیده‌های انتشار دیواره چاه، شکستگی‌های القایی و تنش برجای مخزن | ۱۰۹ |
| شکل ۳۴-۴- مطالعه موردی بر روی پدیده Breakout در میدادین مختلف نفتی در صفحه عربی | ۱۱۰ |
| شکل ۳۵-۴- نقشه تنش ایران (Mueller,2000) | ۱۱۱ |
| شکل پیوست-۱(سمت راست): انواع شکستگی‌های القایی در موزه‌های کربناته | ۱۲۹ |
| شکل پیوست-۲) نمایش شماتیک میدان تنش حداکثر عمودی ایجاد شده در اثر عملکرد متنه موزه برداری | ۱۳۰ |
| شکل پیوست-۳) مقایسه‌ای بین A- شکستگی‌های ایجاد شده طی حفاری مربوط به میدان Roosevelt | ۱۳۱ |
| شکل پیوست-۴) پوشش بیشتر دیواره چاه در تصاویر FMI نسبت به تصاویر FMS | ۱۳۲ |
| شکل پیوست-۵) نمونه‌ای از موزه‌های لایه‌بندی با اطمینان بالا و پایین در تصاویر FMI چاه ۱۱۶ FMI | ۱۳۵ |
| شکل پیوست-۶) موقعیت برش‌های عرضی رسم شده بر روی رأس مخزن آسماری جهت به کارگیری روش | ۱۳۶ |
| شکل پیوست-۷) موقعیت برش‌های عرضی رسم شده بر روی رأس مخزن بنگستان جهت به کارگیری روش | ۱۳۹ |
| شکل پیوست-۸) موقعیت برش‌های عرضی رسم شده بر روی رأس مخزن آسماری جهت به کارگیری روش RFF | ۱۴۳ |
| شکل پیوست-۹) موقعیت برش‌های عرضی رسم شده بر روی رأس مخزن بنگستان جهت به کارگیری روش RFF | ۱۵۴ |
| شکل پیوست-۱۰) برش‌های عرضی رسم شده بر روی رأس مخزن آسماری و محاسبه زوایای شبیه یال | ۱۵۶ |

فهرست جداول

| | |
|---|-----|
| جدول ۱-۲ - تقسیم‌بندی ساختمانی زاگرس از دیدگاه افراد مختلف..... | ۱۴ |
| جدول ۱-۳- اعمق و زون‌های حفاری شده، همراه با مقدار موزه بازیافت شده در هر چاه..... | ۴۱ |
| جدول ۲-۳- فاکتورهای مؤثر در برآورد نسبی انبوهی شکستگی‌ها (مطیعی،۱۳۷۴) | ۶۱ |
| جدول پیوست-۱) محاسبه زوایای شبیه یال شمال‌خاوری، جنوب‌باختری و زاویه بین یالی در برش‌های عرضی | ۱۶۰ |

فصل اول

کلیات

۱-۱- مقدمه:

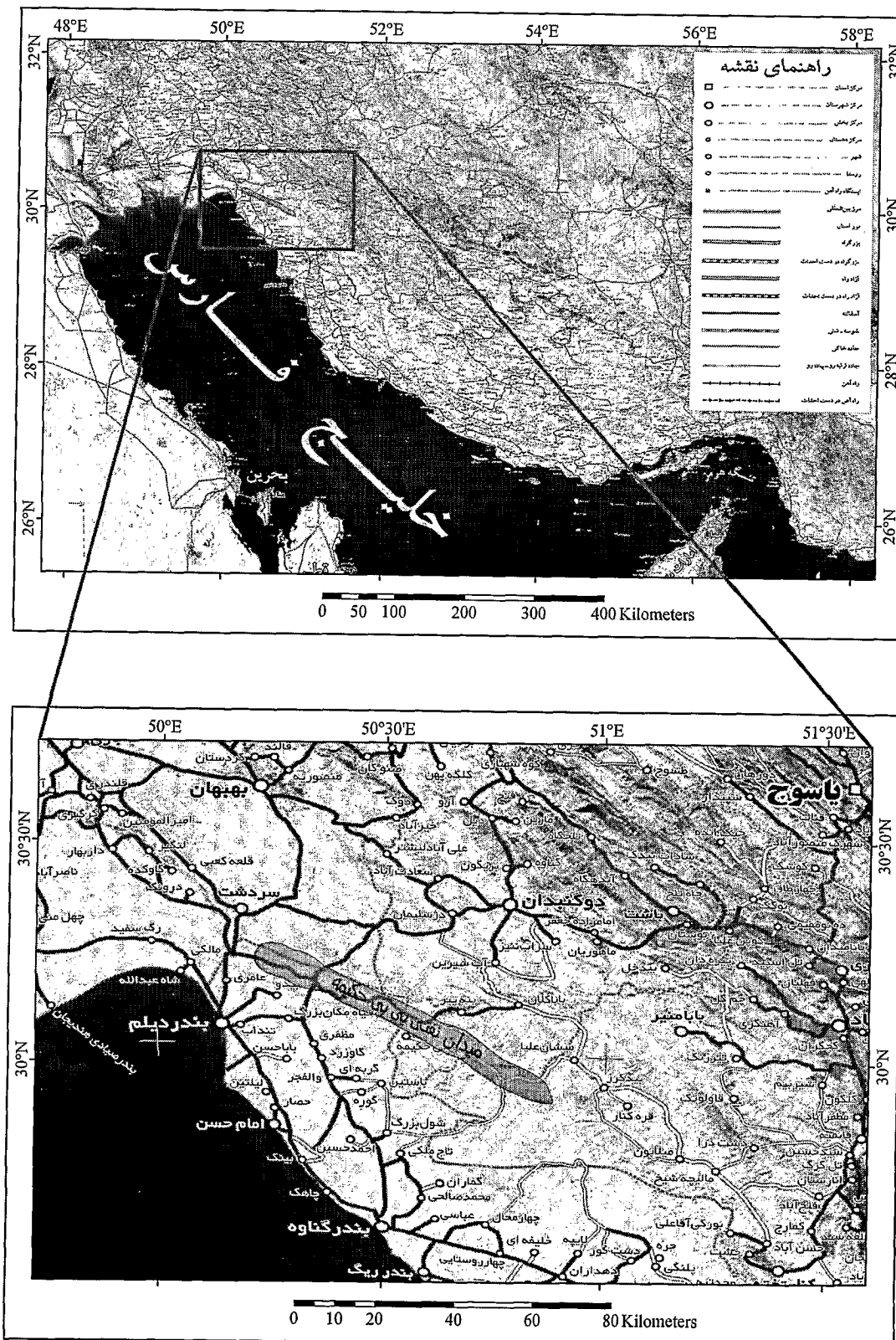
فروافتادگی دزفول که به عنوان یکی از زیرپنهنهای زاگرس چین خورده، در جنوب باختری ایران قرار دارد، از دیدگاه زمین شناسی نفت حائز اهمیت زیادی است و اکثر مخازن نفتی کشور در این ناحیه قرار گرفته است. در این مخازن، غالباً تولید مناسب با نفوذ پذیری مرتبط با تخلخل زمینه سنگ نیست و به مراتب بیشتر از آن می‌باشد. لذا نقش شکستگی‌ها در تخلیه طبیعی، بازیافت ثانویه و بالاخره بازیافت نهایی بسیار پراهمیت جلوه می‌کند (مطیعی، ۱۳۷۴). از این‌رو، مطالعه و بررسی شکستگی‌ها و شناخت موقعیت و نحوه گسترش آن‌ها در سرتاسر مخزن، می‌تواند به طرح توسعه میدان، تعیین محل‌های مناسب جهت احداث چاه‌های جدید، افزایش طول عمر و بهره‌دهی مناسب مخزن، کاهش هزینه‌های بی‌جوابی و درک کلی ما از سیستم شکستگی در میادین نفتی، کمک قابل توجهی نماید.

به منظور درک اهمیت این شکستگی‌ها و تأثیر آن‌ها در میزان بهره‌دهی، کافی است یادآوری شود که در چاه شماره ۳۵ گچساران تنها پس از ۱۵ سانتیمتر حفاری در سازند آسماری، تولیدی معادل ۸۰۰۰۰ بشکه در روز به دست آمد، در حالی‌که در چاه‌های نه چندان دور از این محل با وجود حفاری تمامی سازند آسماری، به علت عدم وجود شکاف و شکستگی مناسب تولید خیلی کمتری حاصل گردید. همچنین چاه شماره ۵ البرز، در زمان حفاری سازند قم در اثر برخورد به ناحیه با شکستگی زیاد، برای مدتی حدود ۸۰ روز با فوران حدود ۷۰۰۰۰ بشکه نفت در روز، از کنترل خارج بود (طبیبی و همکاران، ۱۳۶۱).

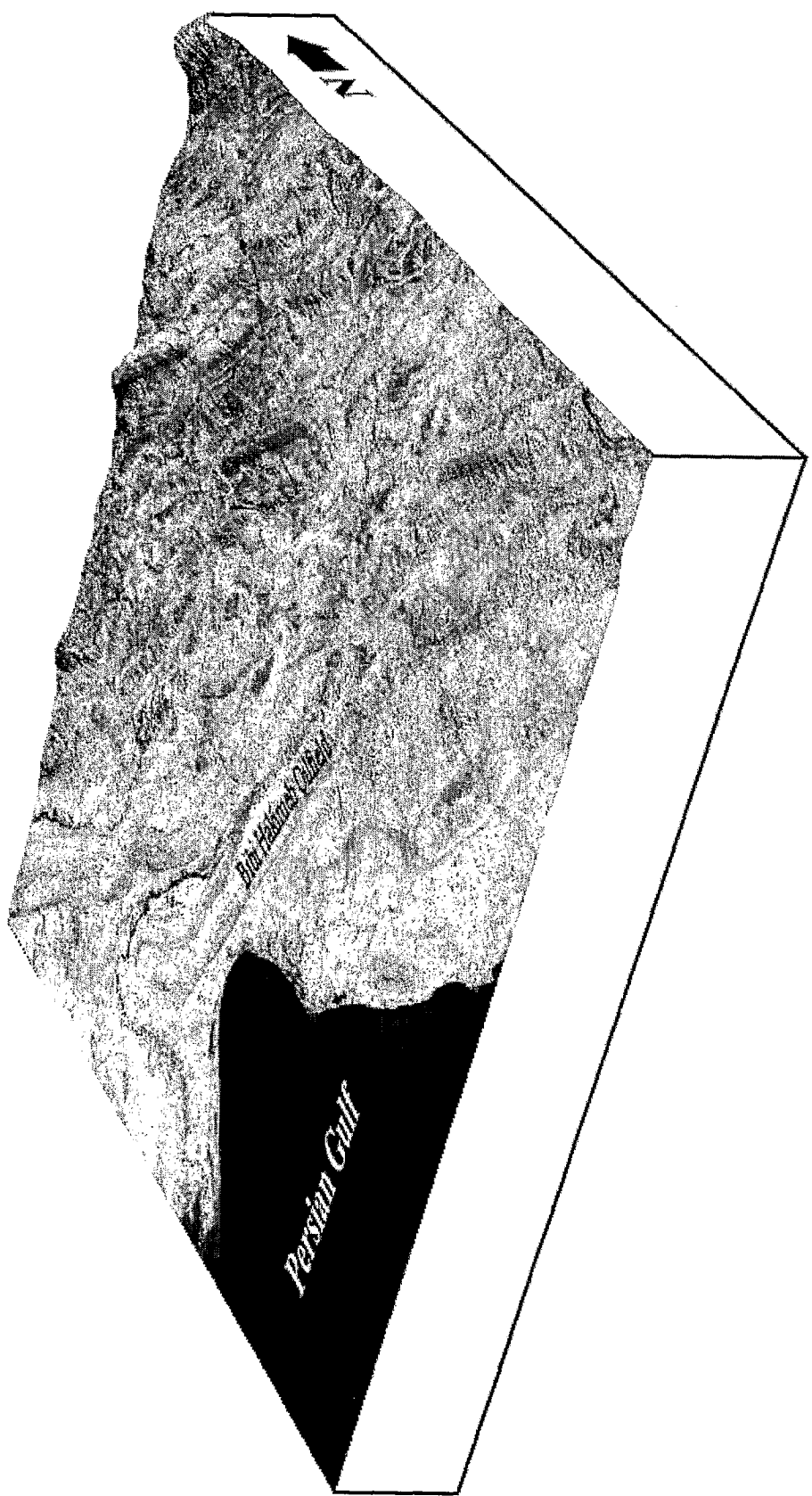
بنابراین، با توجه به اهمیت موضوع، در این پژوهش به روش‌های مختلف، به تحلیل و بررسی ساختار و شکستگی‌های سطحی و زیرسطحی میدان نفتی بی‌بی‌حکیمه پرداخته شده است.

۱-۲- موقعیت جغرافیایی و راه‌های دسترسی به منطقه مورد مطالعه:

میدان بی‌بی‌حکیمه در محدوده طول‌های جغرافیایی^۱ ۱۲° تا ۵۳° شرقی و عرض‌های جغرافیایی^۲ ۲۹° تا ۳۰° شمالی، در حدود ۲۳۰ کیلومتری جنوب‌خاوری اهواز، در نزدیکی خلیج فارس و در حاشیه خاوری فروافتادگی دزفول واقع شده و از آخرین تاقدیس‌های کشیده و نامتقارن کمربند چین خورده زاگرس محسوب می‌شود. این میدان از شمال باختر به میدان رگ‌سفید، از جنوب خاور به میدان سولابدر و از جنوب باختر به میادین کیلورکریم و سیاه‌مکان منتهی شده است (شکل ۱-۳). از شهرستان‌های مهم این محدوده، می‌توان به شهرستان‌های بهبهان در ۶۵ کیلومتری شمال باختر، دوگنبدان در ۳۵ کیلومتری شمال خاور، بندر دیلم در ۴۰ کیلومتری باختر و بندر گناوه در ۵۰ کیلومتری جنوب آن اشاره نمود. موقعیت جغرافیایی میدان بی‌بی‌حکیمه و راه‌های دسترسی به آن در شکل (۱-۱) و مدل ارتفاعی رقومی این منطقه در شکل (۲-۱) نشان داده است.



شکل ۱-۱- موقعیت جغرافیایی و راههای دسترسی به میدان نفتی بی‌بی حکیمه (برگرفته از تصویر ماهواره‌ای راههای ایران، سازمان جغرافیایی وزارت دفاع و پشتیبانی نیروهای مسلح)



شکل ۱-۲- مدل ارتفاعی رقومی (DTM) منطقه مورد مطالعه و نواحی اطراف، با استفاده از تصاویر Landsat TM سنجنده ماهواره MSID

۳-۱- تاریخچه اکتشافی و پیشینه پژوهشی میدان بی‌بی حکیمه:

میدان بی‌بی حکیمه در سال ۱۹۶۱ با حفر چاه شماره ۱ کشف و از سال ۱۹۶۴ وارد مرحله تولید شده است. مخزن خامی این میدان نیز، در سال ۱۹۹۷ با حفر چاه اکتشافی ۹۱ شناسایی گردیده است. اما در حال حاضر، تنها مخازن آسماری و بنگستان این میدان مورد بهره‌برداری قرار می‌گیرند. از زمان کشف میدان بی‌بی حکیمه تاکنون، مطالعات متعددی در ارتباط با مخازن هیدروکربوری و زمین‌شناسی آن انجام شده است. اولین مطالعه انجام شده در سال ۱۹۶۶ توسط McQuillan و با استفاده از اطلاعات مغزه چاه شماره ۱۸ و به منظور تعیین موقعیت و چگونگی انتشار شکستگی‌ها انجام گرفته است. Adams (1968) به مطالعه زمین‌شناسی مخزن آسماری با استفاده از اطلاعات ۱۴ حلقه چاه حفاری شده در این میدان پرداخته است. وی مخزن آسماری را در این میدان، از نظر چینه‌شناسی به ۷ بخش مجزا تقسیم نموده است. پس از آن در سال ۱۹۷۵ مطالعه نسبتاً جامعی توسط شرکت Core lab و با استفاده از اطلاعات ۳۸ حلقه چاه انجام و مخزن آسماری در این میدان، به ۴ زون مستقل تقسیم و مخزن بنگستان نیز، به صورت یک زون واحد در نظر گرفته شده است. اما، صفاری (۱۳۶۰) با استفاده از اطلاعات ۷ حلقه چاه، مخزن بنگستان این میدان را به ۹ زون جداگانه تقسیم کرده است. همچنین، عمانی (۱۳۶۳) به مطالعه زمین‌شناسی مخزن آسماری این میدان پرداخته و تقسیم‌بندی Core lab (1975) را در مورد این مخزن به تأیید رسانده است. در سال ۱۳۸۵ نیز، مطالعه جامع مخزن آسماری و بنگستان میدان بی‌بی حکیمه توسط اداره زمین‌شناسی بنیانی شرکت ملی مناطق نفتخیز جنوب انجام شده است.

در این پژوهش، در مورد مخزن آسماری، تقسیم‌بندی (1975) Core lab و در مورد مخزن بنگستان، تقسیم‌بندی صفاری (۱۳۶۰) مبنای کار قرار گرفته است.

۴-۱- اهداف مطالعه:

- تعیین نواحی با تراکم شکستگی بالا، در دو افق مخزنی آسماری و بنگستان
- تعیین ارتباط بین شکستگی‌ها و هندسه ساختاری میدان
- مقایسه الگوی شکستگی‌های سطحی و زیر سطحی
- تعیین الگوی دگریختی و تحلیل ساختاری

فصل دوم

زمین شناسی عمومی

۱-۲- مقدمه:

داده‌های زمین‌شناختی ایران نشانگر آن است که فرآیندهای درونی و بیرونی زمین، در زمان و مکان‌های مختلف، پیامدهایی متفاوت داشته‌اند و به همین‌رو، الگوی ساختاری، تحولات زمین‌ساختی، شرایط رسوی و زیستی ایران در دوره‌های گوناگون زمین‌شناختی، پیچیدگی خاص دارد. ناهمسانی رسوی و زمین‌ساختی تا بدانجا است که بیان ویژگی‌های یکسان را برای بسیاری از مناطق ایران ناممکن می‌سازد و به همین‌رو، از گذشته‌های دور، تقسیم ایران به پهنه‌های رسوی- ساختاری گوناگون مورد توجه بوده است.

از آنجا که منطقه مورد مطالعه در این پژوهش (میدان نفتی بی‌بی‌حکیمه) در پهنه زاگرس واقع شده است، در ادامه به بررسی ویژگی‌های این پهنه پرداخته شده است.

۲-۳- زاگرس:

منظور از زاگرس، زمین‌های واقع در جنوب باختری زمین‌درز نئوتیس است که شامل بلندی‌های باختر و جنوب باختری ایران است و گستره‌های لرستان، خوزستان و فارس را در بر دارد. این منطقه یکی از پهنه‌های مهم رسوی- ساختاری ایران و بخشی از کمریند کوهزائی آلپ- هیمالیا است که با روند کلی شمال باختر- جنوب خاور به طول تقریبی ۲۰۰۰ کیلومتر و پهنه‌ای ۱۰۰ تا ۳۰۰ کیلومتر از جنوب خاور کشور ترکیه تا تنگه هرمز ایران گسترش دارد.

از نگاه زمین‌شناسی، درباره مرز شمال خاوری زاگرس، اتفاق نظر وجود ندارد. زمین‌شناسانی مانند (1961) Falcon (1974) و McQuillan (1991) و (1991) Alavi (1994) و Farhoudi (1978) بخش شمال خاوری زاگرس را پهنه سندج- سیرجان دانسته‌اند. Alavi (1994) کمریند آتشفشاری ارومیه- دختر را به عنوان مرز شمال خاوری زاگرس معرفی کرده‌اند. بسیاری از گزارش‌های زمین‌شناسی، از جمله (1968) Stocklin (1968)، نبوی (۱۳۵۵)، افتخارنژاد (۱۳۵۹)، Berberian (1981) و آقانباتی (۱۳۷۹) نیز، مرز شمال خاوری این پهنه را بر راندگی اصلی زاگرس منطبق می‌دانند. دنباله جنوب خاوری پهنه زاگرس توسط گسل ترادیس^۱ درون‌قاره‌ای میناب (گسل زندان) از حوضه فلیش مکران جدا می‌شود، ولی به سمت شمال باختر، زاگرس را می‌توان تا بلندی‌های خاور عراق و جنوب خاور ترکیه دنبال کرد. به سوی جنوب- جنوب باختر، ویژگی‌های زمین‌شناختی زاگرس با اندک تغییراتی در رخساره‌های سنگی و الگوی ساختاری تا خلیج فارس و سکوی عربستان ادامه دارد. نبود فعالیت‌های آذرین، وجود مادر سنگ‌های متعدد و بسیار غنی از مواد آلی، سنگ مخزن‌های متخلخل و تراوای متعدد با سنگ‌پوش‌های مناسب، شرایط منحصر به فردی را برای تولید و انباست هیدروکربن در زاگرس فراهم کرده تا این پهنه از نفت‌خیزترین حوضه‌های رسوی دنیا باشد (افشار‌حرب، ۱۳۸۰).

^۱ Transform fault